



# БИООРГАНИЧЕСКАЯ ХИМИЯ

том 7 \* № 7 \* 1981

УДК 547.963.32.07

## СИНТЕЗ АНОМЕРНЫХ 5-(2-ОКСИГЕКСАФТОРИЗОПРОПИЛ)-2'-ДЕЗОКСИУРИДИНОВ И ИЗУЧЕНИЕ ИХ АНТИМЕТАБОЛИТНЫХ И ПРОТИВОВИРУСНЫХ СВОЙСТВ

*Мельник С. Я., Бахмедова А. А., Недорезова Т. П.,  
Ворновицкая Г. И., Преображенская М. Н.*

Всесоюзный онкологический научный центр  
Академии медицинских наук СССР, Москва

*Аветисян Э. А., Герман Л. С., Полищук В. Р.*

Институт элементоорганических соединений Академии наук СССР, Москва

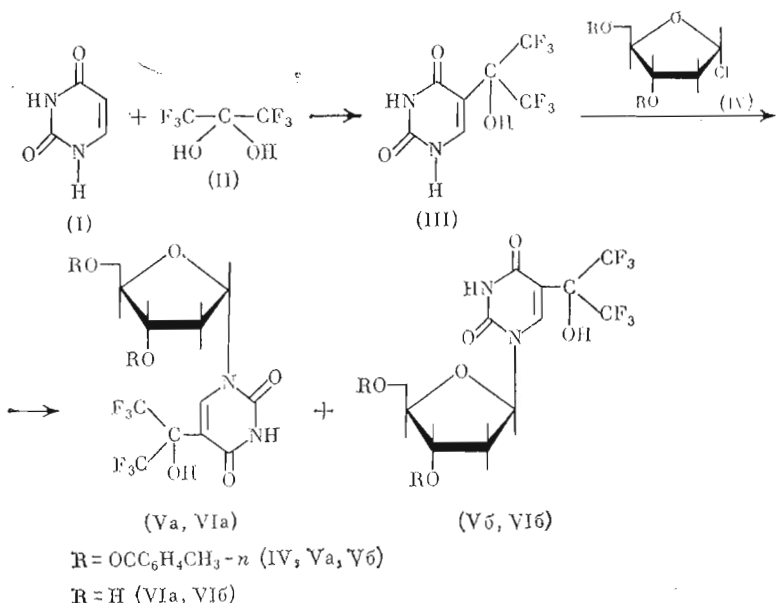
*Чекунова Э. В., Бектемиров Т. А., Анджапаридзе О. Г.*

Московский научно-исследовательский институт  
вирусных препаратов Министерства здравоохранения СССР

Взаимодействием урацила с гидратом гексафторацетона синтезирован 5-(2-окси-гексафторизопропил)урацил. Его гликозилирование силильным методом 2'-дезокси-3,5-ди-O-n-толуил- $\alpha$ -D-рибофуранозилхлоридом и последующее дезацетилирование привело к получению аномерных 5-(2-оксигексафторизопропил)-2'-дезоксиуридинов. Показано, что аномеры не обладают цитотоксическими свойствами на культуре клеток *CaOv*.  $\alpha$ -Аномер проявляет ингибирующее действие в отношении вируса герпеса простого *in vitro* и *in vivo* и не влияет на репликацию вируса осповакцины. Определены 50% токсическая концентрация препарата и химиотерапевтический индекс. Сопоставление концентраций препарата, блокирующих включение дезоксиуридина и тимидина в ДНК клеток, инфицированных вирусом герпеса, позволило заключить, что  $\alpha$ -аномер 5-(2-оксигексафторизопропил)-2'-дезоксиуридина не является ингибитором тимидилатсинтетазы; он также не влияет на активность тимидинкиназы, выделенной из селезенки крыс с привитой гепатомой.

Интерес к 5-замещенным 2'-дезоксиуридинам обусловлен тем, что эти соединения являются потенциальными ингибиторами ключевых ферментов биосинтеза ДНК *de novo*, прежде всего тимидилатсинтетазы и ДНК-полимеразы. В этом ряду найдено немало антиметаболитов, обладающих противоопухолевыми и противовирусными свойствами [1]. Однако практическое применение многих из них осложнено побочным токсическим действием, связанным с включением аналога нуклеозида в ДНК нормальных клеток. Поэтому проблема создания нетоксических препаратов, избирательно действующих на трансформированные клетки, в настоящее время остается актуальной.

В этой связи представляет интерес изучение  $\alpha$ -аномеров модифицированных нуклеозидов. Можно полагать, что изменение субстратной специфичности ферментов опухолевой и в особенности инфицированной виру-



сом клетки вызовет «летальные» превращения  $\alpha$ -аномера именно в трансформированной клетке. Включение в ДНК  $\alpha$ -нуклеозида, по-видимому, невозможно, так как наличие даже одного звена  $\alpha$ -нуклеотида в полинуклеотидной цепи приводит, как было показано в исследовании на моделях, к значительным нарушениям в структуре биополимера [2]. В последние годы в литературе стали появляться данные о биологической активности  $\alpha$ -аномеров нуклеозидов пуринового ряда, не связанной с расщеплением гликозидной связи [3–5]. Недавно мы сообщили о том, что  $\alpha$ -аномер 5-изопропил-2'-дезоксиурицина обладает сравнимой с  $\beta$ -аномером антигипертетической активностью *in vitro* [6].

Авторами данной работы синтезированы аномерные 5-(2-оксигексафторизопропил)-2'-дезоксиурицины (схема) и изучены их антиметаболитные и противовирусные свойства. Введение заместителя в положение 5 урацильного кольца осуществлено взаимодействием урацила (I) с гидратом гексафторацетона (II). Полученный 5-(2-оксигексафторизопропил)-урацил (III) после превращения в trimetilsilylное производное конденсировали с 2-дезокси-3,5-di-O-*n*-толуил- $\alpha$ -D-рибофуранозилхлоридом (IV) в дихлорэтане в присутствии  $\text{SnCl}_4$ . Образовавшуюся смесь аномерных дезоксирибозидов (Va) и (Vb) очищали колоночной хроматографией и без разделения дезациклировали действием метилата натрия в метаноле. Аномерные нуклеозиды (VIIa) и (VIIb) выделяли в индивидуальном состоянии хроматографией на колонке с силикагелем с общим выходом 80% (соотношение  $\alpha$ -аномер —  $\beta$ -аномер 1,5 : 1).

Положение остатка дезоксирибозы в полученных нуклеозидах при атоме азота  $\text{N}_{(1)}$  пиримидинового кольца подтверждено сохранением максимума поглощения в УФ-спектрах при переходе от pH 7 к pH 11. В данном случае, как и ранее, при гликозилировании 5-замещенных урацилов не наблюдалось образования  $\text{N}_{(3)}$ -дезоксирибозидов [7]. По-видимому, атака по атому азота  $\text{N}_{(3)}$  затруднена из-за стерических препятствий, вызванных влиянием заместителя в положении 5 силицированного урацила на ориентацию объемистой 4-O-триметилсilyльной группы [8].

Отнесение конфигурации аномеров проведено по данным спектров КД и ПМР. В спектре КД  $\beta$ -аномера (VIIb), как и в случае природных пиримидиновых нуклеозидов, имеется положительный, а у  $\alpha$ -аномера (VIIa) отрицательный максимум поглощения при 270 нм. В спектре ПМР  $\beta$ -апо-

Таблица 1

Влияние соединений (VIa) и (VIb) в концентрации 1 мМ на включение [<sup>14</sup>C]dThd (A) и [<sup>3</sup>H]dUrd (B) в ДНК гепатомы мышей

Соединение	A *	Торможение, %	B *	Торможение, %
Контроль (VIa)	32485±1686 22092±493	32	24651±135 32774±252	+33
Контроль (VIb)	37716±1200 29192±549	25	29956±1018 23319±4373	22

\* Удельная радиоактивность ДНК, расп./мин/мг.

Таблица 2

Противовирусная активность соединения (VIa) \*

Концентрация, мкг/мл	Снижение титра вируса герпеса, ЦПД <sub>50</sub>	Концентрация, мкг/мл	Снижение титра вируса герпеса, ЦПД <sub>50</sub>
250	10 <sup>4,5</sup>	30	10 <sup>1</sup>
125	10 <sup>3</sup>	15	—
62	10 <sup>2</sup>		

\* В контрольной культуре, не обработанной препаратом, вирус герпеса размножался до титра 10<sup>6</sup> ЦПД<sub>50</sub>.

мера сигнал протона 1'-Н имеет вид триплета с шириной ~13 Гц, тогда как для  $\alpha$ -апомера это квартет с шириной ~10 Гц. Индивидуальность аномеров (VIa) и (VIb) подтверждена методом жидкостной хроматографии высокого разрешения, время удерживания составляет 17,4 и 13,4 мин соответственно.

Изучение цитотоксического действия показало, что как  $\beta$ -(VIb), так и  $\alpha$ -апомер (VIa) не влияют на включение [<sup>3</sup>H]тимидина в ДНК клеток карциномы яичника человека *CaOv* (СЕ<sub>50</sub>\* составляет ~500 и >1000 мкг/мл соответственно). Оба аномера оказывают незначительное влияние на включение меченых предшественников в ДНК клеток гепатомы мышей (табл. 1).

При изучении противовирусных свойств показано, что соединения (VIa) и (VIb) в концентрации 250 мкг/мл не активны в отношении вируса осповакцины.  $\beta$ -Апомер (VIb) практически не влияет и на репродукцию вируса герпеса, тогда как  $\alpha$ -апомер (VIa) в концентрации 250 мкг/мл оказывает выраженное ингибирующее действие на репродукцию вируса герпеса (табл. 2). Таким образом, соединение (VIa) является специфическим антигерпетическим агентом, как и описанный нами ранее  $\alpha$ -апомер 5-изопропил-2'-дезоксиуридина [6]. Для соединения (VIa) определена 50% токсическая концентрация для однослоиной культуры куриных фибробластов, составляющая 3000 мкг/мл. Сопоставление ее с минимальной концентрацией ингибитора, подавляющей репродукцию вируса герпеса на 3 lg ЦПД<sub>50</sub>\*\*\*, позволило определить химиотерапевтический индекс для нуклеозида (VIa), равный 24. Для оценки эффективности соединения (VIa) как потенциального противовирусного препарата мы изучили влияние его на развитие осповакцинальной инфекции у кроликов. При введе-

\* 50%-ный цитотоксический эффект.

\*\* ЦПД — цитопатическая доза.

Таблица 3

Влияние соединения (VIIa) на генерализованную герпетическую инфекцию у мышей

Режим введения препарата *	Гибель животных по суткам									Кол-во выживших животных	Выживаемость, %
	1	2	3	4	5	6	7	8	9		
1	0	0	3	4	3	7	2	0	0	44	36
2	0	0	4	7	3	2	1	3	0	10	33
3	0	0	0	5	3	1	3	2	0	16	54
4	0	0	0	0	1	4	1	0	0	24	80
Контроль	0	0	5	10	7	2	6	—	—	0	0

\* 1 — внутрибрюшинно дважды в день в течение 4 дней; 2 — внутрибрюшинно за 24 ч до заражения и далее, как в первом режиме; 3 — внутривенно однократно в течение 4 дней; 4 — внутривенно за 24 ч до заражения и далее, как в третьем режиме.

Таблица 4

Влияние аналогов нуклеозидов на синтез ДНК в культуре клеток куриных фибробластов, инфицированных вирусом простого герпеса

Соединение	$ID_{50}$ *, мкг/мл	
	по $[^3\text{H}]d\text{Tthd}$	по $[^{14}\text{C}]d\text{Urd}$
(VIIa)	125	>500
IdUrd	0,06	0,1
FdUrd	>1,0	<0,25

\*  $ID_{50}$  — концентрация препарата, вызывающая подавление включения меченого предшественника в ДНК на 50%.

нии 25 мг препарата подкожно за 24 ч до, одновременно и через 4 ч после заражения интенсивность кожных поражений составила 64—73% от контроля. При введении той же дозы за 24 ч до и затем после заражения в течение 3 сут интенсивность кожных поражений составила 44%. Изучено также влияние соединения (VIIa) на генерализованную герпетическую инфекцию у мышей, развивающуюся при внутрибрюшинном заражении вирусом простого герпеса. Исследованы различные режимы введения препарата, примененного в виде 2% раствора по 0,2 мл на каждую инъекцию (табл. 3). Во всех опытах отмечено уменьшение числа погибших животных по сравнению с контролем. Наиболее выраженные эффекты получены при внутривенном введении препарата.

С целью получения данных о механизме действия нуклеозида (VIIa) был использован подход, предложенный в работе [9]: если аналог тимицина блокирует включение дезоксиуридина в ДНК в концентрации, значительно меньшей, чем включение тимицина, то можно полагать, что он действует на уровне тимидилатсинтетазы. Для проверки этой возможности изучены антиметаболитные свойства соединения (VIIa) на культуре клеток куриных фибробластов, инфицированных вирусом простого герпеса в сравнении с действием 5-iod-2'-дезоксиуридина (IdUrd), активного противовирусного препарата, и 5-фтор-2'-дезоксиуридина (FdUrd) — мощного ингибитора тимидилатсинтетазы, обладающего противоонкологевыми и противовирусными свойствами.  $\alpha$ -Нуклеозид (VIIa) существенно тормозит включение  $[^3\text{H}]$ тимицина, тогда как включение  $[^{14}\text{C}]$ дезоксиуридина не удается подавить при концентрации 500 мкг/мл (табл. 4). Эти данные позволяют заключить, что противовирусный эффект соединения (VIIa) не связан с подавлением активности тимидилатсинтетазы.

Соединение (VIIa) не влияет на активность тимидинкиназы, выделенной из селезенки крыс с привитой гепатомой. Таким образом, остается невыясненным, какой фермент осуществляет фосфорилирование нуклеозида (VIIa), а также какова структура образующегося аналога пуклеотида. Недавно было высказано предположение о том, что  $\alpha$ -2'-дезоксицитогуанозин, обладающий противоопухолевой активностью и малотоксичный для нормальных тканей, фосфорилируется в опухолевой клетке не по 5'-положению, как  $\beta$ -2'-дезоксицитогуанозин, а по 3'-положению [10]. Этот путь активации может оказаться общим для всех  $\alpha$ -2'-дезоксиинуклеозидов с антиметаболитными свойствами.

Авторы выражают свою признательность Ю. Ю. Володину, Ю. В. Стукалову и В. Е. Шевченко за получение данных спектров КД, жидкостной хроматографии высокого разрешения и масс-спектрометрии.

### Экспериментальная часть

Спектры ПМР записаны на приборе JNM-MH-100 (Япония), внутренний стандарт — тетраметилсилан. УФ-спектры получены на регистрирующем спектрофотометре «Unicam SP-800» (Англия), длина оптического пути 1 см, растворитель — спирт; ИК-спектры записаны на приборе «Perkin-Elmer 283» (США) в таблетках с КВг. Измерения кругового диахроизма проведены на дихромографе «Rousell-Jouan III» (Франция) в спирте, в кювете с длиной оптического пути 1 см. Масс-спектры получены на приборе «Varian MAT-311A» (США), энергия ионизации 80 эВ. Жидкостную хроматографию проводили на приборе фирмы «Lirec» (Франция), колонка (250×4,2 мм) наполнена сорбентом «Lichrosorb PP-18» (Merck, ФРГ) с размером частиц 10 мкм, предколонка (50×4,6 мм) наполнена сорбентом CoPell ODS (Whatman, США) с размером частиц 25–37 мкм; анализ проводили в изократическом режиме, элюируя 0,05 М  $\text{NH}_4\text{H}_2\text{PO}_4$ , содержащим 25% метанола при скорости подвижной фазы 2 мл/мин. Для колоночной хроматографии применяли силикагель L40–100 мкм (Chemapol, ЧССР) и смеси растворителей бензол — этилацетат, 5 : 1 (А), 7 : 3 (Б), этилацетат — метанол, 20 : 1 (Б), 10 : 1 (Г).

Цитотоксическую активность изучали на монослоистой культуре *CaOv* карциномы яичника человека, как описано в работе [7]. Опыты с асцитной гепатомой 22A проводили на мышах линии СЗНА. На 7-й день роста гепатомы клетки извлекали из брюшной полости, освобождали от эритроцитов и суспендировали в среде Игла с добавлением глутамина. После 15 мин инкубации с препаратом в 5% супензии клеток добавляли [ $^{14}\text{C}$ ]dThd (0,1 мкКи) и [ $^3\text{H}$ ]dUrd (1 мкКи) и инкубировали 1 ч. Обработку клеток и определение радиоактивности ДНК проводили, как описано в работе [11]. Изучение противовирусной активности проводили по методике [6]. Опыты с осповакцинальной инфекцией проводили на крольчих ягодицах Шиншилла массой 2–2,5 кг, в каждом опыте использовали не менее пяти кроликов. Животных заражали 100  $ID_{50}$  вируса осповакцины внутрекожно, при каждой инъекции подкожно вводили водный раствор, содержащий 25 мг препарата. Через 9–11 сут определяли диаметр кожных поражений в мм и сопоставляли с контролем.

Опыты с генерализованной герпетической инфекцией проводили на беспородных мышах массой 10–12 г по 30 животных в каждом опыте. Мышей заражали внутрибрюшинно вирусом простого герпеса, препарат вводили в виде 2% водного раствора по 0,2 мл. Результаты учитывали на основании гибели животных в течение 9 дней наблюдения и сопоставления с контролем. Опыты по включению меченных предшественников в ДНК инфицированных вирусом простого герпеса клеток проводили на культуре клеток куриных фибробластов. Для выбора оптимального времени добавления метки в среду исследовали динамику синтеза ДНК в ин-

фицированных клетках и показали, что увеличение удельной радиоактивности ДНК было равномерным при включении [ $^3\text{H}$ ]dUrd, а включение [ $^{14}\text{C}$ ]dTd резко возрастало только через 6 ч. Препараты в различных концентрациях добавляли в среду сразу после инфицирования клеток вирусом (нулевое время), через 7 ч добавляли «двойную метку» на 1 ч. После удаления среды в матрацы добавляли холодный раствор 5% трихлоруксусной кислоты, собирали клетки центрифугированием и определение радиоактивности проводили как описано ранее [7]. По кривым зависимости торможения включения меченых тимидина и дезоксиуридина в ДНК от концентрации препаратов рассчитывали  $ID_{50}$ . Тимидинкиназу выделяли из селезенки крыс с гепатомой Зайдела и проводили опыт по методике [7].

**5-(2-Оксигексафторизопропил)урацил (III).** В стальной автоклав емкостью 50 мл помещали 11,2 г (0,1 моль) урацила (I) и 23,4 г (0,14 моль) гидрата гексафторацетона (II). Автоклав герметизировали и нагревали 20 ч при 220° С. По охлаждении содержимое обрабатывали спиртом ( $3 \times 100$  мл), фильтровали, отделяли 2,8 г не вступившего в реакцию урацила. Фильтрат упаривали, получали 12,5 г (60% на прореагировавший урацил) 5-(2-оксигексафторизопропил)урацила (III), т.пл. 290–292° С (50% спирт). Спектр ПМР в  $\text{DMSO-d}_6$ , δ, м.д.: 8,2, 9,8; 12,2 (соотношение интегральных интенсивностей 1 : 1 : 1).  $^{19}\text{F}$ -ЯМР: -3,2 с. Найдено, %: С 30,22; Н 1,46; F 41,16; N 10,08.  $\text{C}_7\text{H}_4\text{F}_6\text{N}_2\text{O}_3$ . Вычислено, %: С 30,25; Н 1,43; F 41,00; N 10,07.

**Аномерные 2'-дезокси-5-(2-оксигексафторизопропил)уридины (VIa) и (VIb).** Смесь, состоящую из 5 г (0,018 моль) соединения (III), 1,5 мг сульфата аммония и 26 мл гексаметилдисилазана, кипятили 14 ч. Избыток гексаметилдисилазана отгоняли в вакууме, к остатку в 16 мл сухого дихлорэтана прибавляли 5,9 г (0,015 моль) соединения (IV) и 0,3 мл  $\text{SnCl}_4$  в 16 мл сухого дихлорэтана. Реакционную смесь перемешивали 4,5 ч при 20° С, промывали насыщенным раствором бикарбоната натрия ( $2 \times 10$  мл) и водой. Дихлорэтан отгоняли в вакууме, остаток растворяли в бензole и наносили на колонку с 600 г силикагеля. Системой А вымывали примесь углевода, затем системой Б вымывали смесь аномеров (Va) и (Vb). Выход 7,7 г (68%). Раствор 7,7 г смеси ацилнуклеозидов (Va) и (Vb) в 100 мл 1 н. метилата натрия в метаноле перемешивали 5 ч при 20° С, нейтрализовали даунком-50 ( $\text{H}^+$ ) до pH 7, смолу отделяли, растворитель отгоняли в вакууме. Остаток растворяли в этилацетате и наносили на колонку с 300 г силикагеля. Этилацетатом вымывали метилтолуилат, затем системой В β-аномер (VIb). Выход 1,5 г (31%). УФ-спектр:  $\lambda_{\max}$  268 нм, ε 8400. ИК-спектр: 3420, 1720, 1660  $\text{cm}^{-1}$ . Спектр КД:  $\lambda_{\max}$  272, [θ] 9570. Спектр ПМР в  $\text{CD}_3\text{OD}$ , δ, м.д.: 8,41с (1Н, 6-Н); 6,29т (1Н,  $J_{1'2'}=J_{1'2''}$  6,8 Гц, 1'-Н); 4,36 м (1Н, 3'-Н); 4,00 м (1Н, 4'-Н); 3,40д (2Н, 5'-Н, 5"-Н); 2,00–2,44 м (2Н, 2'-Н, 2"-Н).  $M^+$  394. Найдено, %: С 36,78; Н 3,52.  $\text{C}_{12}\text{H}_{12}\text{F}_6\text{N}_2\text{O}_6$ . Вычислено, %: С 36,56; Н 3,07.

Системой Г вымывали α-аномер (VIa). Выход 2,4 г (50%). УФ-спектр:  $\lambda_{\max}$  268 нм, ε 8600. ИК-спектр: 3420, 1710, 1660  $\text{cm}^{-1}$ . Спектр КД:  $\lambda_{\max}$  270 нм, [θ] 12 700. Спектр ПМР в  $\text{CD}_3\text{OD}$ , δ, м.д.: 8,29 с (1Н, 6-Н); 6,20дд (1Н,  $J_{1'2'}=J_{1'2''}$  7,4, 1'-Н); 4,31 м (2Н, 3'-Н, 4'-Н); 3,48–3,80 м (2Н, 5'-Н, 5"-Н); 1,94–2,20 м (1Н, 2"-Н); 2,44–2,84 м (1Н, 2'-Н).  $M^+$  394. Найдено, %: С 36,96; Н 3,67.  $\text{C}_{12}\text{H}_{12}\text{F}_6\text{N}_2\text{O}_6$ . Вычислено, %: С 36,56; Н 3,07.

## ЛИТЕРАТУРА

1. *Prusoff W. H., Fischer P. H.* Basis for the selective antiviral and antitumor activity of pyrimidine nucleoside analogs.—In: Nucleoside analogues. Plenum Publishing Corporation, 1979, p. 281–318.
2. *Sequin U.* Nucleosides and nucleotides. Part 5. The stereochemistry of oligonucleotides consisting of 2'-deoxy-α-D-ribosides. a study with Dreiding stereomodels.—*Experientia*, 1973, v. 29, № 9, p. 1059–1062.

3. Christensen L. P., Broom A. D., Robins M. J., Bloch A. Synthesis and biological activity of selected 2,6-disubstituted-(2-deoxy- $\alpha$ - and - $\beta$ -D-erythro-pentofuranosyl) purines.— *J. Med. Chem.*, 1972, v. 15, № 7, p. 735—739.
4. Peery A., LePage G. A. Nucleotide formation from  $\alpha$ - and  $\beta$ -2'-deoxythioguanosine in extracts of murine and human tissues.— *Cancer Res.*, 1969, v. 29, № 3, p. 617—623.
5. Bennett L. L., Allan P. W., Hill D. L., Thomas H. J., Carpenter J. W. Metabolic studies with an  $\alpha$ -nucleoside, 9- $\alpha$ -D-arabinofuranosyl-8-azaadenine.— *Mol. Pharmacol.*, 1976, v. 12, № 2, p. 242—252.
6. Бектемиров Т. А., Чекунова Э. В., Анджапаридзе О. Г., Мельник С. Я., Бахмедова А. А., Преображенская М. Н. Изучение противовирусной активности аномерных 5-замещенных 2'-дезоксиуридинов.— *Вопр. вирусологии*, 1979, № 6, с. 603—606.
7. Мельник С. Я., Бахмедова А. А., Ворновицкая Г. И., Добрынин Я. В., Николаева Т. Г., Иванова Т. П., Ярцева И. В., Преображенская М. Н. Синтез и изучение 5-полифторалкиль- и 5-полифторалюксиметил-2'-дезоксилипиримидиновых нуклеозидов.— *Биоорганская химия*, 1979, т. 5, № 1, с. 41—46.
8. Niedballa U., Vorbrüggen H. A general synthesis of N-glycosides. 6. On the mechanism of the stannic chloride catalyzed silyl Hilbert-Johnson reaction.— *J. Org. Chem.*, 1976, v. 41, № 12, p. 2084—2090.
9. De Clercq E., Descamps J., Huang G. F., Torrence P. F. 5-Nitro-2'-deoxyuridine and 5-nitro-2'-deoxyuridine-5'-monophosphate: antiviral activity and inhibition of thymidylate synthetase in vivo.— *Mol. Pharmacol.*, 1978, v. 14, p. 422—430.
10. Acton E. M., Goerner R. N., Uh H. S., Ryan K. J., Henry D. W., Cass C. E., LePage G. A. Improved antitumor effects in 3'-branched homologues of 2'-deoxythioguanosine. Synthesis and evaluation of thioguanine nucleosides of 2,3-dideoxy-3-(hydroxymethyl)-D-erythro-pentofuranose.— *J. Med. Chem.*, 1979, v. 22, № 5, p. 518—525.
11. Ворновицкая Г. И., Иванова Т. П., Чижиков Г. В., Муханов В. И., Миникер Т. Д., Преображенская М. Н. Изучение биологической активности нуклеозидов индола. II. Влияние 1- $\alpha$ -L-арабинопиранозидов индрондола на синтез нуклеиновых кислот в опухолях и в печени опухолевого организма.— *Химико-фармацевт. Ж.*, 1978, т. 9, № 9, с. 14—20.

Поступила в редакцию  
5.XII.1980

## SYNTHESIS OF ANOMERIC 5-(2-HYDROXYHEXAFLUOROISOPROPYL)-2'-DEOXYURIDINES AND INVESTIGATION OF THEIR ANTIMETABOLITE AND ANTIVIRAL PROPERTIES

MELNIK S. Ya., BAKHMEDOVA A. A., NEDOREZOVA T. P.,  
VORNOVITSKAYA G. I., PREOBRAZHENSAYA M. N., AVETISYAN E. A.,  
GERMAN L. S., POLYSHCHUK V. R., CHEKUNOVA E. V., BEKTEMIROV T. A.,  
ANDZHAPARIDZE O. G.

All-Union Cancer Research Center, Academy of Medical Sciences of the USSR, Moscow;  
Institute of Organo Element Compounds, Academy of Sciences of the USSR,  
Moscow; Moscow Research Institute of Viral Preparations, Ministry  
of Health of the USSR, Moscow

5-(2-Hydroxyhexafluoroisopropyl)uracil was synthesized by interaction of uracil with hexafluoroacetone hydrate. Its glycosylation by the trimethylsilyl method with 2-deoxy-3,5-di-O-p-toluoyl- $\alpha$ -D-ribofuranosyl chloride and subsequent deacylation led to anomeric 5-(2-hydroxyhexafluoroisopropyl)-2'-deoxyuridines. The anomers are not cytotoxic in CaOv cell culture. The  $\alpha$ -anomer produces a marked inhibiting effect on HSV-1 in vitro and in vivo and has no effect on vaccinia virus replication. Fifty per cent toxic dose and chemotherapeutic index were determined for  $\alpha$ -anomer. The comparison of concentrations which block deoxyuridine and thymidine incorporation into DNA of HSV-infected cells allowed to conclude that  $\alpha$ -anomer of 5-(2-hydroxyhexafluoroisopropyl)-2'-deoxyuridine is not a selective thymidylate synthetase inhibitor; it does not affect the activity of thymidine kinase isolated from the spleen of hepatoma bearing rats.